

ТЕОРИЯ И МЕТОДЫ  
ОБРАБОТКИ СИГНАЛОВ

УДК 621.391.2

КОРРЕЛЯЦИОННЫЕ ФУНКЦИИ НАВИГАЦИОННЫХ  
cosGBOC-СИГНАЛОВ КАК ОБРАТНОЕ ПРЕОБРАЗОВАНИЕ ФУРЬЕ  
ЭНЕРГЕТИЧЕСКИХ СПЕКТРОВ

© 2020 г. М. С. Ярлыков<sup>a, \*</sup>, С. М. Ярлыкова<sup>b, \*\*</sup>

<sup>a</sup>Редакция журнала “Радиотехника и электроника”,  
ул. Моховая, 11, стр. 7, Москва, 125009 Российская Федерация

<sup>b</sup>Институт кибернетики Российского технологического университета МИРЭА,  
просп. Вернадского, 78, Москва, 119454 Российская Федерация

\*E-mail: red@cplire.ru

\*\*E-mail: yarlykova@mirea.ru

Поступила в редакцию 27.03.2019 г.

После доработки 27.03.2019 г.

Принята к публикации 08.04.2019 г.

Рассмотрены модулирующие функции (МФ) cosGBOC-сигналов (косинусных обобщенных ВОС-сигналов) для нового поколения спутниковых радионавигационных систем, таких как Galileo (ЕС), GPS (США), ГЛОНАСС (Россия) и BeiDou (Китай). На основе обратного преобразования Фурье (ПФ) энергетических спектров получены аналитические выражения и построены графики корреляционных функций (КФ) одиночных элементов МФ cosGBOC-сигналов с коэффициентом кратности импульсов  $N_{\Pi} = 2$  и 4 для различных значений коэффициента заполнения  $\rho$ , где  $\rho \in [0, 1]$ . При вычислении КФ в основу методики положено представление энергетического спектра в виде взвешенной алгебраической суммы косинусов углов, определяемых характерными точками косинусного символа МФ (точками излома КФ) cosGBOC-сигналов. В ряде случаев вычисление КФ cosGBOC-сигналов путем обратного ПФ энергетических спектров оказывается более предпочтительным (в частности, по трудоемкости) при сравнении со способом получения КФ на основе ее общего определения.

DOI: 10.31857/S0033849420010088

ВВЕДЕНИЕ

Рост числа потребителей спутниковых радионавигационных систем (СРНС), таких как Galileo (ЕС), GPS (США), ГЛОНАСС (Россия) и BeiDou (Китай) при одновременном ужесточении требований, предъявляемых к многорежимности и качеству их функционирования, обуславливают возрастающую потребность в разработке и применении различных разновидностей и обобщений ВОС-сигналов (binary offset carrier modulated signals) [1–4].

В связи с этим применительно к перспективному глобальным СРНС следует отметить исследование и разработку обобщенных (Generalized) ВОС-сигналов (GBOC) [5–10].

Основное отличие GBOC-сигналов от ВОС-сигналов заключается в том, что у обобщенных ВОС-сигналов поднесущее колебание (ПК) представляет собой прямоугольный сигнал, т.е. периодическую биполярную последовательность прямоугольных видеопульсов, с произвольным значе-

нием коэффициента заполнения  $\rho$ , где  $\rho \in [0, 1]$ . Такое ПК навигационных GBOC-сигналов называется прямоугольным ПК (ППК) [7–9]. Иначе говоря, GBOC-сигналы – это шумоподобные сигналы с ППК, а ВОС-сигналы – это шумоподобные сигналы с меандровым ПК (МПК).

Когда у ППК коэффициент заполнения  $\rho = 0.5$ , то в этом важном частном случае оно представляет собой МПК, а сами GBOC-сигналы при этом являются традиционными ВОС-сигналами [1–4]. В другом частном случае, когда  $\rho = 0$  или  $\rho = 1$ , GBOC-сигналы вырождаются в двоичные фазоманипулированные сигналы (binary phase shift keying signals – BPSK-сигналы) [11]. Этот случай является вырожденным, поскольку при этом утрачивается зависимость сигналов от значения коэффициента кратности импульсов прямоугольного ПК  $N_{\Pi}$  [7]. Возможность изменять у GBOC-сигналов значение коэффициента заполнения  $\rho$  в пределах от 0 до 1, позволяет варьировать в широких пределах форму и параметры кор-

реляционных функций (КФ) и энергетических спектров таких сигналов. Это обстоятельство обуславливает преимущества (в частности, по электромагнитной совместимости) применения GBOC-сигналов по сравнению с ВОС-сигналами или BPSK-сигналами в перспективных СРНС.

Использование GBOC-сигналов, как вариант, обсуждается в китайской СРНС BeiDou на третьей фазе ее развития. При этом рассматриваются следующие значения параметров таких GBOC-сигналов: несущая частота GBOC-сигнала  $f_H = 1561.098$  МГц, тип модуляции GBOC(2, 2,  $\rho$ ), коэффициент заполнения  $\rho = 0.3$ , частота следования символов псевдослучайной последовательности (ПСП) дальномерного кода  $f_C = 2.046$  МГц, частота ППК  $f_{\Pi} = 2.046$  МГц, базовая (опорная) частота  $f_{Op} = 1.023$  МГц [5, 6].

Свойства и возможности GBOC-сигналов во многом определяются их корреляционными характеристиками. Знание аналитических выражений и графиков КФ позволяет в принципе количественно рассчитать для приемников СРНС потенциальные характеристики точности слежения за ПСП дальномерного кода и оценить разрешающую способность сигналов в условиях многолучевости и при действии помех. Располагая формулами КФ GBOC-сигналов, удается разрабатывать дискриминаторы приемников, близкие к оптимальным, которые обеспечивали бы, по возможности, однозначное слежение за основным пиком КФ и минимизировали бы вероятность захвата ее боковых (ложных) пиков.

Получение явных формул КФ GBOC-сигналов (особенно при больших значениях коэффициента кратности импульсов  $N_{\Pi}$ ) представляет собой довольно трудоемкую задачу [8, 10].

В ряде случаев аналитические выражения КФ GBOC-сигналов (аналогично ВОС-сигналам [12]) предпочтительнее получать как обратное преобразование Фурье (ПФ) их энергетических спектров. Кроме того, вычисление КФ GBOC-сигналов другим методом (на основе энергетических спектров, а не прямым методом, используя общее определение КФ) позволяет дополнительно подтвердить правильность полученных формул КФ.

Как известно, GBOC-сигналы (аналогично ВОС-сигналам) в зависимости от относительного сдвига по времени между ПСП дальномерного кода и ППК делятся на sinGBOC-сигналы (синусные обобщенные ВОС-сигналы) и cosGBOC-сигналы (косинусные обобщенные ВОС-сигналы) [5–10].

Аналитические выражения КФ sinGBOC-сигналов как обратное ПФ энергетических спектров получены в [13], где предложена методика расчета КФ одиночных элементов МФ таких сигналов. В

основе методики лежит представление энергетического спектра sinGBOC-сигналов в виде взвешенной алгебраической суммы косинусов углов, определяемых характерными точками синусного символа МФ  $\mu_{\sin GBOC}(t)$  sinGBOC-сигнала (т.е. точками излома КФ  $R_{\sin GBOC}(\tau, \rho)$ ).

В данной статье рассматриваются cosGBOC-сигналы.

Цель работы – на основе обратного ПФ энергетических спектров в соответствии с методикой [13] получить аналитические выражения КФ одиночных элементов МФ cosGBOC-сигналов с коэффициентом кратности импульсов  $N_{\Pi} = 2$  и 4 при различных значениях коэффициента заполнения  $\rho$ , где  $\rho \in [0, 1]$ .

Рассматриваемые ПСП дальномерного кода и косинусные ППК имеют единичные амплитуды, поэтому полученные выражения характеризуют нормированные КФ.

Термин типа “одиночный элемент МФ cosGBOC-сигнала” означает, что рассматривается математическое выражение, описывающее один элемент МФ cosGBOC-сигнала.

## 1. СТРУКТУРА И ХАРАКТЕРИСТИКИ ИЗЛУЧАЕМЫХ cosGBOC-СИГНАЛОВ

Навигационный cosGBOC-сигнал  $s(t)$ , излучаемый бортовым передатчиком какого-либо одного спутника из состава орбитальной группировки СРНС, имеет известный вид [2, 4, 7, 10]:

$$s(t - t_0) = A d_{\cos GBOC}(t - t_0) \cos[\omega_H(t - t_0) + \varphi(t)], \quad (1)$$

где  $A = \sqrt{2P_{cp}}$  – амплитуда cosGBOC-сигнала на выходе передатчика;  $P_{cp}$  – средняя мощность cosGBOC-сигнала на выходе передатчика;  $d_{\cos GBOC}(t)$  – МФ cosGBOC-сигнала,  $\omega_H = 2\pi f_H$  – круговая несущая частота радиосигнала;  $f_H$  – несущая частота cosGBOC-сигнала;  $\varphi(t)$  – фаза радиосигнала;  $t_0$  – начало отсчета.

Вся сложность и специфика cosGBOC-сигналов  $s(t)$ , как видно из (1), полностью определяется структурой и характеристиками МФ  $d_{\cos GBOC}(t)$ .

Свойства и структура МФ  $d_{\cos GBOC}(t)$ , а также ее статистические характеристики в случаях cosGBOC-сигналов достаточно детально обсуждаются в [9, 10].

Далее для краткости, когда это не влияет на суть изложения, полагаем, что МФ  $d_{\cos GBOC}(t)$  cosGBOC-сигнала  $s(t)$  обусловлена собственно ПСП дальномерного кода и косинусным ППК. В

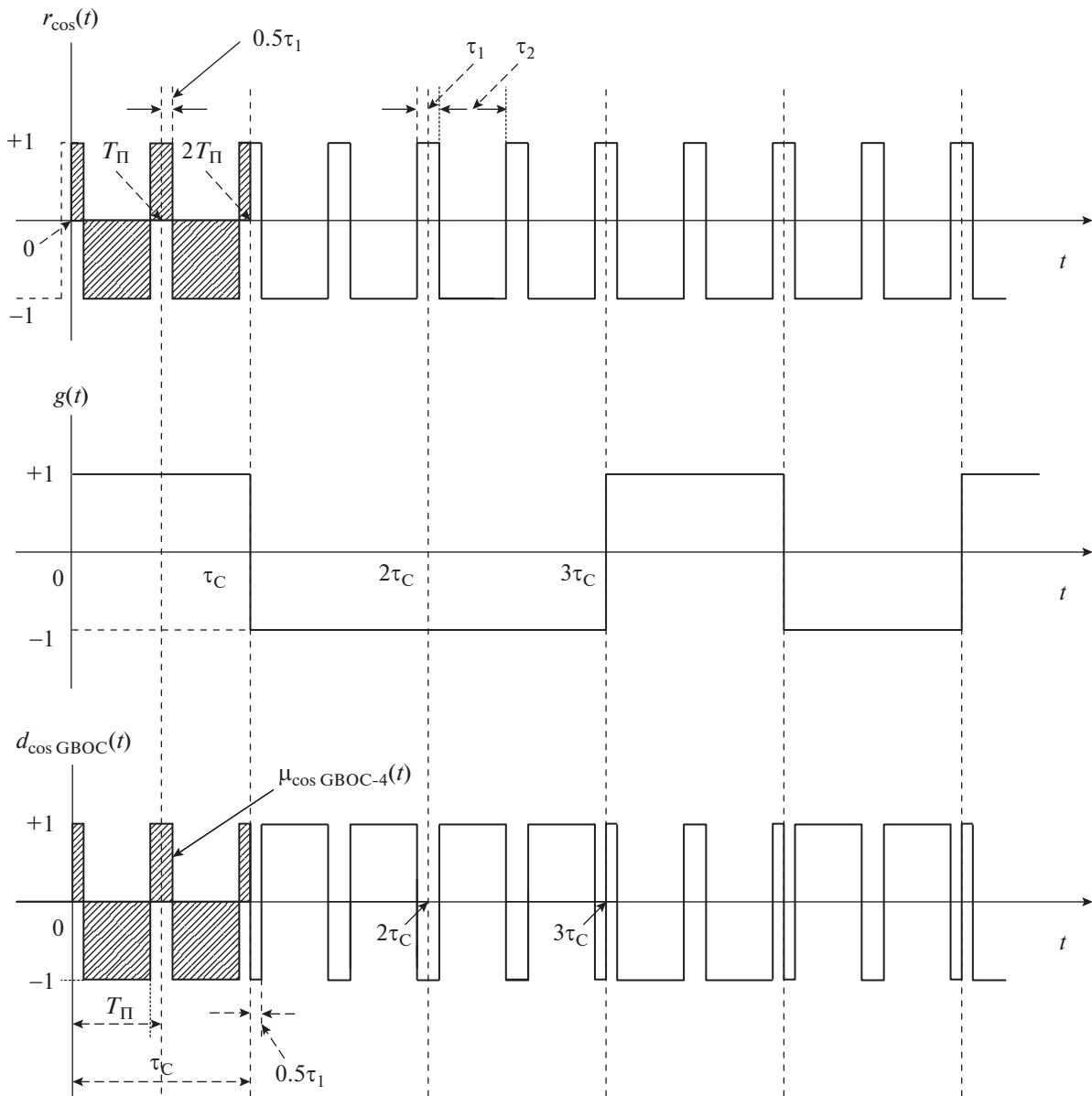


Рис. 1. Формирование модулирующей функции cosGBOC-сигнала при  $\rho = 0.25$  и  $N_{\Pi} = 4$ .

таком случае МФ  $d_{\cos GBOC}(t)$  cosGBOC-сигнала  $s(t)$  записывается в виде [9, 10]

$$d_{\cos GBOC}(t - t_0) = g(t - t_0)r_{\cos}(t - t_0), \quad (2)$$

где  $g(t - t_0)$  – собственно ПСП дальномерного кода;  $r_{\cos}(t - t_0)$  – косинусное ППК, отражающее специфику cosGBOC-сигналов  $s(t)$ .

Входящие в соотношение (2) ПСП  $g(t)$  (для произвольно заданной реализации) и косинусное ППК  $r_{\cos}(t)$  представлены на рис. 1, где введены следующие обозначения:  $\tau_c$  – длительность элемента ПСП  $g(t)$ ;  $T_{\Pi}$  – длительность периода коси-

нусного ППК  $r_{\cos}(t)$ ;  $\tau_1$  и  $\tau_2$  – длительности положительного и отрицательного импульсов косинусного ППК  $r_{\cos}(t)$  соответственно.

Длительность периода  $T_{\Pi}$  косинусного ППК  $r_{\cos}(t)$  (см. рис. 1) равна

$$T_{\Pi} = 0.5\tau_1 + \tau_2 + 0.5\tau_1 = \tau_1 + \tau_2. \quad (3)$$

Частота косинусного ППК  $r_{\cos}(t)$  с учетом (3) характеризуется выражением

$$f_{\Pi} = \frac{1}{T_{\Pi}} = \frac{1}{\tau_1 + \tau_2}, \quad (4)$$

где  $f_{\Pi}$  – частота косинусного ППК  $r_{\cos}(t)$ .

Важный параметр косинусного ППК  $r_{\cos}(t)$  (и, соответственно,  $\cos\text{GBOC}$ -сигналов  $s(t)$ ), каким является коэффициент заполнения прямоугольного сигнала  $\rho$ , определяется как [6, 9, 10]

$$\rho \triangleq \frac{\tau_1}{T_{\Pi}}, \quad (5)$$

где  $\rho \in [0, 1]$ .

На рис. 1 коэффициент заполнения косинусного ППК  $r_{\cos}(t)$  в качестве примера принят равным  $\rho = 0.25$ , а начало отсчета  $t_0 = 0$ .

Согласно (3) и (5) имеем, что для коэффициента заполнения  $\rho$  выполняются следующие соотношения (см. рис. 1):

$$\tau_1 = \rho T_{\Pi}, \quad \tau_2 = (1 - \rho)T_{\Pi}. \quad (6)$$

Частным случаем косинусного ППК  $r_{\cos}(t)$ , когда коэффициент заполнения  $\rho = 0.5$ , является меандровый сигнал, у которого длительности положительного и отрицательного импульсов равны, т.е.

$$\tau_1 = \tau_2 \triangleq \tau_M, \quad (7)$$

где  $\tau_M$  – длительность меандрового импульса. При этом длительность периода ПК равна  $T_{\Pi} \triangleq T_M = 2\tau_M$ , где  $T_M$  – период МПК [4].

Таким образом, если коэффициент заполнения  $\rho = 0.5$ , то косинусное ППК  $r_{\cos}(t)$  представляет собой косинусное МПК, а  $\cos\text{GBOC}$ -сигнал  $s(t)$  является традиционным  $\cos\text{BOC}$ -сигналом.

Соотношение для ПСП дальномерного кода  $g(t)$ , описывающее ее один период, имеет известный вид [4, 9, 11]:

$$g(t - t_0) = \sum_{k=0}^{L-1} v_k \text{rect}_{\tau_C}[t - k\tau_C - t_0], \quad (8)$$

где  $L$  – коэффициент расширения спектра, т.е. число элементов на периоде ПСП  $g(t)$ ;  $\tau_C$  – длительность элемента ПСП  $g(t)$ ;  $k = 0, 1, 2, \dots, (L - 1)$  – номер элемента ПСП на периоде;  $t_0$  – начало отсчета.

Функция  $\text{rect}_{\tau_C}[\cdot]$  в (8) представляет собой импульс единичной амплитуды длительностью  $\tau_C$ :

$$\text{rect}_{\tau_C}[t - k\tau_C] = \begin{cases} 1 & \text{при } k\tau_C \leq t < (k+1)\tau_C, \\ 0 & \text{при } k\tau_C > t \geq (k+1)\tau_C, \end{cases} \quad (9)$$

где  $k = 0, 1, 2, \dots, (L - 1)$ .

Кодовые коэффициенты  $v_k = v(t_k)$ , где  $t_k = k\tau_C$  – дискретное время, формируют ПСП дальномерного кода  $g(t)$  (8). Они принимают на каждом элементе ПСП длительностью  $\tau_C$  значения  $+1$  или  $-1$  согласно определяемому кодом закону чередова-

ния элементов на периоде. Длительность периода ПСП  $g(t)$  (8) равна

$$T_L = L\tau_C. \quad (10)$$

Например, в СРНС типа ГЛОНАСС дальномерный код стандартной точности представляет собой периодическую последовательность максимальной длины (М-последовательность, или последовательность Хаффмена) с периодом  $T_L = 1$  мс и частотой следования символов  $f_C = 511$  кГц.

В СРНС типа GPS дальномерный С/А код является периодической последовательностью Голда с периодом  $T_L = 1$  мс и частотой следования символов  $f_C = 1.023$  МГц [14, 15].

Для сравнения различных типов модуляции  $\cos\text{GBOC}$ -сигналов (по аналогии с  $\cos\text{BOC}$ -сигналами) используется следующее обозначение:  $\cos\text{GBOC}(f_{\Pi}, f_C, \rho)$  [4–7]. Поскольку у СРНС частоты  $f_{\Pi}$  и  $f_C$ , как правило, кратны базовой (опорной) частоте  $f_{\text{оп}}$  (в частности, для систем GPS и Galileo  $f_{\text{оп}} = 1.023$  МГц), то обычно применяется несколько иная форма записи для обозначения типа модуляции  $\cos\text{GBOC}$ -сигналов:  $\cos\text{GBOC}(\alpha, \beta, \rho)$ , где  $\alpha = f_{\Pi}/f_{\text{оп}}$  и  $\beta = f_C/f_{\text{оп}}$ .

В качестве еще одного показателя  $\cos\text{GBOC}$ -сигналов  $s(t)$  используется либо коэффициент кратности импульсов  $N_{\Pi}$  косинусного ППК  $r_{\cos}(t)$ , либо эквивалентный ему параметр  $Q_{\Pi}$  – коэффициент кратности периодов косинусного ППК  $r_{\cos}(t)$  [7–10].

Коэффициент кратности импульсов  $N_{\Pi}$  представляет собой число прямоугольных импульсов (положительных длительностью  $\tau_1$  и отрицательных длительностью  $\tau_2$ ) косинусного ППК  $r_{\cos}(t)$ , которые укладываются на длительности  $\tau_C$  одного элемента ПСП  $g(t)$  (см. рис. 1):

$$N_{\Pi} = \frac{2\tau_C}{T_{\Pi}} = \frac{2f_{\Pi}}{f_C} = \frac{2\alpha}{\beta}, \quad (11)$$

где  $N_{\Pi}$  – положительное четное число ( $N_{\Pi} = 2, 4, 6, \dots$ ).

Следует отметить, что в случае  $\cos\text{GBOC}$ -сигналов при определении коэффициента кратности импульсов  $N_{\Pi}$  первый и последний импульсы длительностью  $0.5\tau_1$  каждый, укладываемые на длительности  $\tau_C$  одного элемента ПСП  $g(t)$  (см. (3) и рис. 1), рассматриваются как половины одного импульса и при подсчете учитываются как один импульс длительностью  $\tau_1$ . На рис. 1 график МФ  $d_{\cos\text{GBOC}}(t)$  в качестве примера характеризует  $\cos\text{GBOC}$ -сигналы с коэффициентом кратности импульсов  $N_{\Pi} = 4$ .

Коэффициент кратности периодов  $Q_{\Pi}$  представляет собой число периодов длительностью  $T_{\Pi}$  косинусного ППК  $r_{\cos}(t)$ , которые укладываются на длительности  $\tau_c$  одного элемента ПСП  $g(t)$  (см. рис. 1):

$$Q_{\Pi} = \frac{1}{2} N_{\Pi} = \frac{\tau_c}{T_{\Pi}} = \frac{f_{\Pi}}{f_c} = \frac{\alpha}{\beta},$$

где  $Q_{\Pi} = 1, 2, 3, \dots$

В частном случае косинусного ППК  $r_{\cos}(t)$ , когда коэффициент заполнения  $\rho = 0.5$ , т.е. в случае cosBOC-сигналов, коэффициент кратности импульсов  $N_{\Pi}$  представляет собой используемый при рассмотрении cosBOC-сигналов параметр  $N_M$  – коэффициент кратности меандровых импульсов:

$$N_M = \frac{\tau_c}{\tau_M} = \frac{2f_M}{f_c} = \frac{2\alpha}{\beta},$$

где  $\tau_M$  – длительность меандрового импульса МПК, характеризующая (7).

## 2. ОДИНОЧНЫЕ ЭЛЕМЕНТЫ МОДУЛИРУЮЩЕЙ ФУНКЦИИ cosGBOC-СИГНАЛОВ

При сравнительной оценке свойств и возможностей cosGBOC-сигналов с cosBOC-сигналами и BPSK-сигналами многое определяется КФ и энергетическими спектрами одиночных элементов МФ этих сигналов.

Согласно (2) и (8) произвольный  $k$ -й элемент МФ  $d_{\cos GBOC}(t)$  cosGBOC-сигналов (по аналогии с cosBOC-сигналами) имеет вид [4, 9, 10]

$$d_{\tau_c-\cos GBOC}(t) = v_k \mu_{\cos GBOC}(t), \quad (12)$$

где  $d_{\tau_c-\cos GBOC}(t)$  – одиночный элемент МФ  $d_{\cos GBOC}(t)$  cosGBOC-сигнала;  $\mu_{\cos GBOC}(t)$  – одиночный косинусный символ МФ  $d_{\cos GBOC}(t)$  cosGBOC-сигнала;  $v_k = v(t_k)$  – кодовый коэффициент  $k$ -го элемента ПСП дальномерного кода  $g(t)$ , характеризуемой (8);  $t_k = k \tau_c$  – дискретное время ( $k = 0, 1, 2, \dots$ ).

В формуле (12) и далее для простоты принято, что начало отсчета  $t_0 = 0$ . Индекс  $\tau_c$  у обозначения  $d_{\tau_c-\cos GBOC}(t)$  отражает тот факт, что рассматривается одиночный элемент МФ  $d_{\cos GBOC}(t)$  длительностью  $\tau_c$ . (Далее в выражениях типа “одиночный элемент” или “одиночный символ” слово “одиночный”, где это не вызывает сомнений, для краткости опускаем.)

В соответствии с (12) элемент МФ  $d_{\tau_c-\cos GBOC}(t)$  cosGBOC-сигнала  $s(t)$  (1) представляет собой символ  $\mu_{\cos GBOC}(t)$ , взятый со знаком “+” или “–” в зависимости от значения кодового коэффициента  $v_k$   $k$ -го элемента ПСП  $g(t)$ .

Косинусный символ  $\mu_{\cos GBOC-N_{\Pi}}(t)$ , учитывая (2), (8) и (11), при различных значениях коэффициента кратности импульсов  $N_{\Pi}$  может быть записан в следующем виде [9, 10]:

$$\begin{aligned} \mu_{\cos GBOC-N_{\Pi}}(t) = & \sum_{m=0}^{0.5N_{\Pi}-1} \{ \text{rect}_{0.5\tau_1} [t - mT_{\Pi}] - \\ & - \text{rect}_{\tau_2} [t - mT_{\Pi} - 0.5\tau_1] + \\ & + \text{rect}_{0.5\tau_1} [t - mT_{\Pi} - 0.5\tau_1 - \tau_2] \}, \end{aligned} \quad (13)$$

где  $N_{\Pi} = 2, 4, 6, \dots$

В формуле (13) и далее индекс  $N_{\Pi}$  в обозначениях типа  $\mu_{\cos GBOC-N_{\Pi}}(t)$  указывает значение коэффициента кратности импульсов  $N_{\Pi}$ .

Как видно из (13) и рис. 1, косинусный символ МФ  $\mu_{\cos GBOC-N_{\Pi}}(t)$  представляет собой отрезок длительностью  $\tau_c$  косинусного ППК  $r_{\cos}(t)$  при определенном значении коэффициента заполнения  $\rho$ . Длительность  $\tau_c$  косинусного символа  $\mu_{\cos GBOC-N_{\Pi}}(t)$  в соответствии с (11) равна

$$\tau_c = 0.5N_{\Pi}T_{\Pi}. \quad (14)$$

Косинусный символ МФ  $\mu_{\cos GBOC-4}(t)$  на рис. 1 заштрихован.

В частном случае cosGBOC-сигналов, когда коэффициент заполнения  $\rho = 0.5$ , т.е. рассматриваются cosBOC-сигналы, формула (13) с учетом того, что  $\tau_1 = \tau_2 = \tau_M$  и  $N_{\Pi} = N_M$ , может быть представлена в следующем виде:

$$\begin{aligned} \mu_{\cos BOC-N_M}(t) = & \text{rect}_{0.5\tau_M} [t] + \\ & + \sum_{m=1}^{N_M-1} (-1)^m \text{rect}_{\tau_M} [t - (m - 0.5)\tau_M] + \\ & + \text{rect}_{0.5\tau_M} [t - (N_M - 0.5)\tau_M], \end{aligned} \quad (15)$$

где  $N_M = 2, 4, 6, \dots$

Видно, что формула (15) совпадает, например, с выражением из работы [4, (2.2)] (при четном  $N_M$ ).

На рис. 2 в соответствии с формулой (13) представлены графики косинусных символов МФ  $\mu_{\cos GBOC-N_{\Pi}}(t)$  при  $\rho = 0.25$  применительно к двум типам МФ cosGBOC-сигналов с коэффициентом кратности импульсов  $N_{\Pi} = 2$  и 4 для одной и той же длительности  $\tau_c$  элемента ПСП  $g(t)$ .

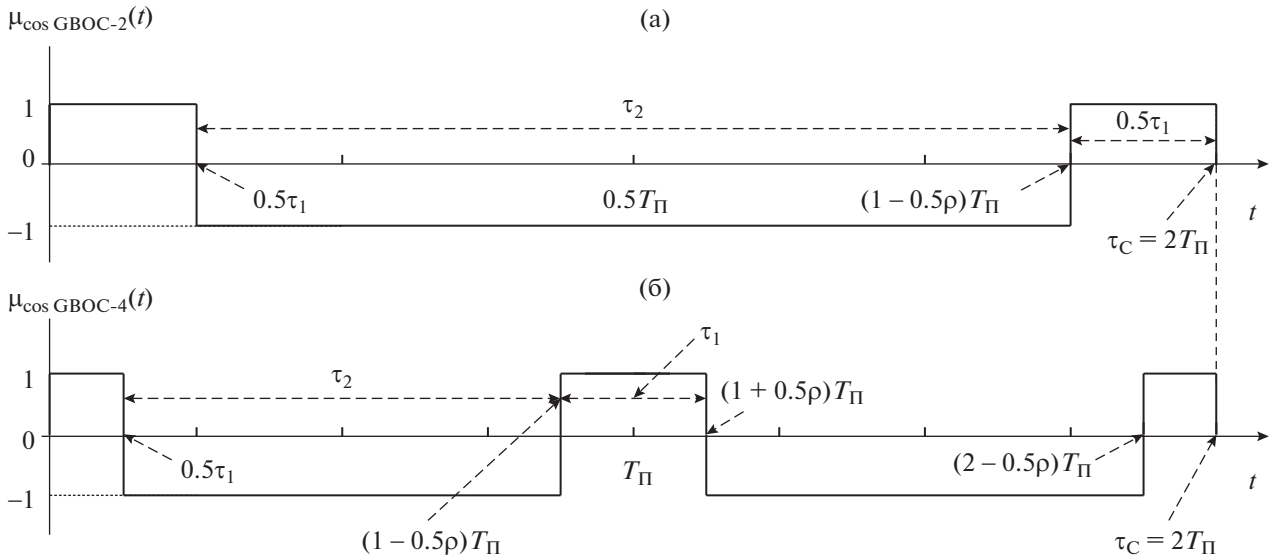


Рис. 2. Косинусные символы модулирующей функции  $\cos\text{GBOC}$ -сигналов при  $\rho = 0.25$ ,  $N_{\Pi} = 2$  (а) и  $N_{\Pi} = 4$  (б).

График на рис. 2а соответствует случаю  $N_{\Pi} = 2$  и представляет косинусный символ  $\mu_{\cos\text{GBOC}-2}(t)$ , который согласно (13) определяется соотношением

$$\mu_{\cos\text{GBOC}-2}(t) = \text{rect}_{0.5\tau_1}[t] - \text{rect}_{\tau_2}[t - 0.5\tau_1] + \text{rect}_{0.5\tau_1}[t - 0.5\tau_1 - \tau_2]. \quad (16)$$

Косинусный символ  $\mu_{\cos\text{GBOC}-2}(t)$  характеризует  $\cos\text{GBOC}$ -сигналы с модуляцией, например, типа  $\cos\text{GBOC}(1, 1, \rho)$  или  $\cos\text{GBOC}(2, 2, \rho)$ .

График на рис. 2б соответствует случаю  $N_{\Pi} = 4$  и представляет косинусный символ  $\mu_{\cos\text{GBOC}-4}(t)$ , который в соответствии с (13) характеризуется формулой

$$\mu_{\cos\text{GBOC}-4}(t) = \text{rect}_{0.5\tau_1}[t] - \text{rect}_{\tau_2}[t - 0.5\tau_1] + \text{rect}_{\tau_1}[t - 0.5\tau_1 - \tau_2] - \text{rect}_{\tau_2}[t - T_{\Pi} - 0.5\tau_1] + \text{rect}_{0.5\tau_1}[t - T_{\Pi} - 0.5\tau_1 - \tau_2]. \quad (17)$$

Косинусный символ  $\mu_{\cos\text{GBOC}-4}(t)$  определяет  $\cos\text{GBOC}$ -сигналы с модуляцией, например, типа  $\cos\text{GBOC}(10, 5, \rho)$ .

Из рассмотрения формулы (13) и рис. 2б видно, что в формировании косинусных символов  $\mu_{\cos\text{GBOC}-N_{\Pi}}(t)$  при  $N_{\Pi} \geq 4$  используются импульсы (в зависимости от их длительности) трех видов:

- положительные импульсы длительностью  $0.5\tau_1$ ,
- положительные импульсы длительностью  $\tau_1$ ,
- отрицательные импульсы длительностью  $\tau_2$ .

Отметим, что при  $N_{\Pi} = 2$  структура косинусного символа  $\mu_{\cos\text{GBOC}-2}(t)$  по сравнению с общим

случаем упрощается и в ней положительные импульсы длительностью  $\tau_1$  не используются.

Если у  $\cos\text{GBOC}$ -сигналов коэффициент заполнения  $\rho$  варьировать в пределах от 0 до 1, то тогда при определенных значениях  $\rho$  соотношения между длительностями этих трех видов импульсов косинусных символов  $\mu_{\cos\text{GBOC}-N_{\Pi}}(t)$  изменяются на противоположные (см. (3) и (6)).

По этой причине, согласно (13), с учетом (3) и (6) в зависимости от значения коэффициента заполнения  $\rho$ , где  $\rho \in [0, 1]$ , при  $N_{\Pi} = 4, 6, 8, \dots$  возможен один из следующих трех вариантов формирования косинусного ППК  $r_{\cos}(t)$   $\cos\text{GBOC}$ -сигналов [9, 10]:

$$\text{1-й вариант: } \tau_1 \leq \tau_2, \text{ т.е. } \rho \in \left[0, \frac{1}{2}\right]; \quad (18)$$

$$\text{2-й вариант: } 0.5\tau_1 \leq \tau_2 \leq \tau_1, \text{ т.е. } \rho \in \left[\frac{1}{2}, \frac{2}{3}\right]; \quad (19)$$

$$\text{3-й вариант: } 0.5\tau_1 \geq \tau_2, \text{ т.е. } \rho \in \left[\frac{2}{3}, 1\right]. \quad (20)$$

Как отмечали [9, 10], для  $\cos\text{GBOC}$ -сигналов при  $N_{\Pi} = 2$  в структуре косинусного символа  $\mu_{\cos\text{GBOC}-2}(t)$  положительные импульсы длительностью  $\tau_1$  не используются, поэтому в таком случае имеют место лишь два варианта формирования косинусного ППК  $r_{\cos}(t)$  при  $\rho \in [0, 1]$ :

$$\text{1-й вариант: } 0.5\tau_1 \leq \tau_2, \text{ т.е. } \rho \in \left[0, \frac{2}{3}\right]; \quad (21)$$

$$\text{2-й вариант: } 0.5\tau_1 \geq \tau_2, \text{ т.е. } \rho \in \left[\frac{2}{3}, 1\right]. \quad (22)$$

Каждому варианту формирования косинусного ППК  $r_{\cos}(t)$  cosGBOC-сигналов соответствует свое аналитическое выражение КФ  $R_{\cos\text{GBOC}-N_{\Pi}}(\tau, \rho)$  одиночного элемента МФ  $d_{\tau\text{-cosGBOC}}(t)$  cosGBOC-сигналов [10].

### 3. ОСНОВНЫЕ СООТНОШЕНИЯ ПО РАСЧЕТУ СТАТИСТИЧЕСКИХ ХАРАКТЕРИСТИК ОДИНОЧНЫХ ЭЛЕМЕНТОВ МОДУЛИРУЮЩЕЙ ФУНКЦИИ cosGBOC-СИГНАЛОВ

При вычислении КФ cosGBOC-сигналов на основе обратного преобразования Фурье энергетического спектра основные соотношения по расчету статистических характеристик (корреляционных и спектральных) по существу во многом подобны случаю sinGBOC-сигналов [13].

Спектральная плотность (спектральная функция)  $G_{\cos\text{GBOC}}(\omega, \rho)$  одиночного элемента МФ  $d_{\tau\text{-cosGBOC}}(t)$  cosGBOC-сигнала представляет собой прямое ПФ от этого элемента МФ [9, 13, 16, 17]:

$$G_{\cos\text{GBOC}}(\omega, \rho) \triangleq \text{FT}\{d_{\tau\text{-cosGBOC}}(t)\} = \int_{-\infty}^{\infty} d_{\tau\text{-cosGBOC}}(t) \exp\{-i\omega t\} dt, \quad t_0 = 0, \quad (23)$$

где  $\text{FT}\{\cdot\}$  – символ прямого ПФ.

Энергетический спектр (спектральная плотность мощности)  $S_{\cos\text{GBOC}}(\omega, \rho)$  одиночного элемента МФ  $d_{\tau\text{-cosGBOC}}(t)$  cosGBOC-сигнала характеризуется соотношением [9, 13, 16, 17]

$$S_{\cos\text{GBOC}}(\omega, \rho) \triangleq \frac{1}{\tau_C} \times \left[ G_{\cos\text{GBOC}}(\omega, \rho) G_{\cos\text{GBOC}}^*(\omega, \rho) \right], \quad (24)$$

где  $G_{\cos\text{GBOC}}^*(\omega, \rho)$  – комплексно-сопряженная спектральная плотность от  $G_{\cos\text{GBOC}}(\omega, \rho)$ .

В соответствии с определением КФ для одиночного элемента МФ  $d_{\tau\text{-cosGBOC}}(t)$  cosGBOC-сигнала, характеризуемого (12) и (13), можно записать [16, 17]

$$R_{\cos\text{GBOC}}(\tau, \rho) \triangleq \frac{1}{\tau_C} \times \int_0^{\tau_C} d_{\tau\text{-cosGBOC}}(t) d_{\tau\text{-cosGBOC}}(t - \tau) dt, \quad (25)$$

где  $R_{\cos\text{GBOC}}(\tau, \rho)$  – КФ одиночного элемента МФ  $d_{\tau\text{-cosGBOC}}(t)$  cosGBOC-сигнала;  $\tau_C = 1/f_C$  – длительность элемента ПСП  $g(t)$ ;  $|\tau| \leq \tau_C$ .

Согласно общему положению статистической радиотехники, КФ  $R_{\cos\text{GBOC}}(\tau, \rho)$  и соответствующий энергетический спектр  $S_{\cos\text{GBOC}}(\omega, \rho)$  одиночного элемента МФ  $d_{\tau\text{-cosGBOC}}(t)$  cosGBOC-сигнала представляют собой пару ПФ (оригиналы и изображения) [16, 17].

В соответствии с этим выполняются следующие соотношения:

$$R_{\cos\text{GBOC}}(\tau, \rho) = \text{FT}^{-1}\{S_{\cos\text{GBOC}}(\omega, \rho)\} = \frac{1}{2\pi} \int_{-\infty}^{\infty} S_{\cos\text{GBOC}}(\omega, \rho) \exp\{i\omega\tau\} d\omega, \quad (26)$$

$$S_{\cos\text{GBOC}}(\omega, \rho) = \text{FT}\{R_{\cos\text{GBOC}}(\tau, \rho)\} = \int_{-\infty}^{\infty} R_{\cos\text{GBOC}}(\tau, \rho) \exp\{-i\omega\tau\} d\tau, \quad (27)$$

где  $\text{FT}^{-1}\{\cdot\}$  – символ обратного ПФ.

Учитывая, что КФ  $R_{\cos\text{GBOC}}(\tau, \rho)$  и энергетический спектр  $S_{\cos\text{GBOC}}(\omega, \rho)$  представляют собой четные функции своих аргументов, формулы (26) и (27) принимают вид

$$R_{\cos\text{GBOC}}(\tau, \rho) = \text{FT}^{-1}\{S_{\cos\text{GBOC}}(\omega, \rho)\} = \frac{1}{\pi} \int_0^{\infty} S_{\cos\text{GBOC}}(\omega, \rho) \cos\omega\tau d\omega, \quad (28)$$

$$S_{\cos\text{GBOC}}(\omega, \rho) = \text{FT}\{R_{\cos\text{GBOC}}(\tau, \rho)\} = 2 \int_0^{\infty} R_{\cos\text{GBOC}}(\tau, \rho) \cos\omega\tau d\tau. \quad (29)$$

В статье [13] предложена методика расчета КФ  $R_{\sin\text{GBOC}}(\tau, \rho)$  одиночных элементов МФ  $d_{\tau\text{-sinGBOC}}(t)$  sinGBOC-сигналов на основе обратного ПФ их энергетического спектра  $S_{\sin\text{GBOC}}(\omega, \rho)$ . Распространим эту методику на cosGBOC-сигналы.

Суть методики, позволяющей получить аналитические выражения КФ  $R_{\cos\text{GBOC}}(\tau, \rho)$  одиночного элемента МФ  $d_{\tau\text{-cosGBOC}}(t)$  cosGBOC-сигналов как обратное ПФ энергетического спектра  $S_{\cos\text{GBOC}}(\omega, \rho)$ , состоит в том, что он представляется в виде взвешенной алгебраической суммы косинусов углов, определяемых характерными точками (точками излома КФ  $R_{\cos\text{GBOC}}(\tau, \rho)$ ) косинусного символа МФ  $\mu_{\cos\text{GBOC}-N_{\Pi}}(t)$  (13). При таком представлении энергетического спектра  $S_{\cos\text{GBOC}}(\omega, \rho)$  последующее вычисление оригиналов по изображениям затруднений не вызывает. Пары ПФ (оригиналы и изображения), которые необходимы для получения аналитических выражений КФ  $R_{\cos\text{GBOC}}(\tau, \rho)$ , представлены в табл. 1 [4, 12, 17].

Таблица 1. Пары преобразований Фурье

Оригинал	Изображение
$R(\tau) = FT^{-1}\{S(\omega)\} = \frac{1}{2\pi} \int_{-\infty}^{\infty} S(\omega) \exp\{i\omega\tau\} d\omega$	$S(\omega) = FT\{R(\tau)\} = \int_{-\infty}^{\infty} R(\tau) \exp\{-i\omega\tau\} d\tau$
$\frac{1}{2}[\delta(\tau + T) + \delta(\tau - T)]$	$\cos \omega T$
$\text{sign}(\tau)$	$\frac{2}{i\omega}$
$\tau^n$	$i^n 2\pi \delta^{(n)}(\omega)$
$\tau$	$i 2\pi \delta^{(1)}(\omega)$
$\tau \text{sign}(\tau)$	$-\frac{2}{\omega^2}$
$-\frac{1}{2} \tau \text{sign}(\tau)$	$\frac{1}{\omega^2}$
$-\frac{1}{4}(\tau + bT) \text{sign}(\tau + bT) - \frac{1}{4}(\tau - bT) \text{sign}(\tau - bT)$	$\frac{1}{\omega^2} \cos b\omega T$

Примечание:  $\delta^{(n)}(\omega)$  –  $n$ -я производная дельта-функции Дирака  $\delta(\omega)$ ,  $\delta^{(1)}(\omega)$  – 1-я производная дельта-функции Дирака  $\delta(\omega)$ ,

$$\text{sign } z = \begin{cases} 1 & \text{при } z > 0; \\ 0 & \text{при } z = 0; \\ -1 & \text{при } z < 0. \end{cases} \text{ – функция "сигнум".}$$

Далее получим аналитические выражения КФ  $R_{\cos\text{GBOC}}(\tau, \rho)$  одиночных элементов МФ  $d_{\tau_c-\cos\text{GBOC}}(t)$   $\cos\text{GBOC}$ -сигналов на основе формулы (28) как обратное ПФ энергетических спектров  $S_{\cos\text{GBOC}}(\omega, \rho)$  при коэффициенте кратности импульсов  $N_{\Pi} = 2$  и 4 для различных значений коэффициента заполнения  $\rho$ , где  $\rho \in [0, 1]$ .

#### 4. КОРРЕЛЯЦИОННЫЕ ФУНКЦИИ ОДИНОЧНЫХ ЭЛЕМЕНТОВ МОДУЛИРУЮЩЕЙ ФУНКЦИИ $\cos\text{GBOC}$ -СИГНАЛОВ

Применительно к  $\cos\text{GBOC}$ -сигналам энергетический спектр  $S_{\cos\text{GBOC}}(f, \rho)$  одиночного элемента МФ  $d_{\tau_c-\cos\text{GBOC}}(t)$ , характеризуемого (12) и (13), при произвольном значении коэффициента кратности импульсов  $N_{\Pi}$  определяется следующей формулой [9]:

$$S_{\cos\text{GBOC}-N_{\Pi}}(f, \rho) = \frac{1}{f_c} \frac{\sin^2\left(\frac{\pi f}{f_c}\right)}{\left(\frac{\pi f}{f_c}\right)^2 \sin^2\left(\frac{2\pi f}{N_{\Pi} f_c}\right)} \times \left[ 2\sin\left(\rho \frac{\pi f}{N_{\Pi} f_c}\right) \cos\left((2-\rho) \frac{\pi f}{N_{\Pi} f_c}\right) - \sin\left((1-\rho) \frac{2\pi f}{N_{\Pi} f_c}\right) \right]^2, \quad (30)$$

где  $f_c$  – частота следования символов ПСП  $g(t)$  (8);  $N_{\Pi} = 2, 4, 6, \dots$  – коэффициент кратности импульсов, характеризуемый (11);  $\rho \in [0, 1]$  – коэффициент заполнения (5).

Методика вычисления аналитических выражений КФ  $R_{\cos\text{GBOC}}(\tau, \rho)$  одиночных элементов МФ  $d_{\tau_c-\cos\text{GBOC}}(t)$  на основе обратного ПФ (28) энергетических спектров  $S_{\cos\text{GBOC}}(f, \rho)$  (30) применительно к  $\cos\text{GBOC}$ -сигналам в случаях  $N_{\Pi} = 2$  и 4 по существу одинакова.

##### 4.1. Корреляционная функция $R_{\cos\text{GBOC}-2}(\tau, \rho)$ одиночного элемента модулирующей функции $\cos\text{GBOC}$ -сигнала с коэффициентом кратности импульсов $N_{\Pi} = 2$

При коэффициенте кратности импульсов  $N_{\Pi} = 2$  энергетический спектр  $S_{\cos\text{GBOC}-2}(f, \rho)$  одиночного элемента МФ  $d_{\tau_c-\cos\text{GBOC}-2}(t)$   $\cos\text{GBOC}$ -сигналов, согласно (30), описывается следующим выражением:

$$S_{\cos\text{GBOC}-2}(f, \rho) = \frac{1}{f_c} \frac{1}{\left(\frac{\pi f}{f_c}\right)^2} \times \left[ 2\sin\rho \frac{\pi f}{2f_c} \cos(2-\rho) \frac{\pi f}{2f_c} - \sin(1-\rho) \frac{\pi f}{f_c} \right]^2, \quad (31)$$

где  $\rho \in [0, 1]$ ,  $N_{\Pi} = 2$ ,  $\tau_c = T_{\Pi}$ .



В соответствии с предложенной методикой (по аналогии с sinGBOC-сигналами [13]) представим энергетический спектр  $S_{\text{cosGBOC-2}}(f, \rho)$  (31) при  $N_{\Pi} = 2$  в виде взвешенной алгебраической суммы косинусов углов, определяемых характерными точками косинусного символа МФ  $\mu_{\text{cosGBOC-2}}(t)$  (16) cosGBOC-сигналов (т.е. точками излома КФ  $R_{\text{cosGBOC-2}}(\tau, \rho)$ ).

В таком случае формула (31) принимает следующий вид:

$$S_{\text{cosGBOC-2}}(\omega, \rho) = \frac{2}{\omega^2 \tau_C} \sum_{i=0}^4 h_i \text{cos} g_i \omega \tau_C, \quad (32)$$

где  $\rho \in [0, 1]$ ,  $N_{\Pi} = 2$ ,  $\tau_C = T_{\Pi}$ ,  $\omega = 2\pi f$ , а коэффициенты  $h_i$  и  $g_i$  ( $i = \overline{0, 4}$ ) представлены в табл. 2.

Видно, что формула (32) совпадает с соответствующим выражением для энергетического спектра  $S_{\text{cosGBOC-2}}(\omega, \rho)$  из работы [10, ф-ла (38)].

Найдем КФ  $R_{\text{cosGBOC-2}}(\tau, \rho)$  (25) одиночного элемента МФ  $d_{\tau_C\text{-cosGBOC-2}}(t)$  (см. (12) и (16)) cosGBOC – сигналов с коэффициентом кратности импульсов  $N_{\Pi} = 2$  как обратное ПФ (28) энергетического спектра  $S_{\text{cosGBOC-2}}(\omega, \rho)$  (32).

Подставив (32) в (28), получим

$$\begin{aligned} R_{\text{cosGBOC-2}}(\tau, \rho) &= \text{FT}^{-1} \{ S_{\text{cosGBOC-2}}(\omega, \rho) \} = \\ &= \frac{1}{\pi} \int_0^{\infty} S_{\text{cosGBOC-2}}(\omega, \rho) \text{cos} \omega \tau d\omega = \\ &= \text{FT}^{-1} \left\{ \frac{2}{\omega^2 \tau_C} \sum_{i=0}^4 h_i \text{cos} g_i \omega \tau_C \right\} = \\ &= \frac{2}{\tau_C} \sum_{i=0}^4 h_i \text{FT}^{-1} \left\{ \frac{1}{\omega^2} \text{cos} g_i \omega \tau_C \right\}. \end{aligned} \quad (33)$$

Оригиналы  $\text{FT}^{-1} \left\{ \frac{1}{\omega^2} \text{cos} g_i \omega \tau_C \right\}$ , где  $i = \overline{0, 4}$ , приведены в табл. 1 и имеют вид

$$\begin{aligned} \text{FT}^{-1} \left\{ \frac{1}{\omega^2} \text{cos} g_i \omega \tau_C \right\} &= -\frac{1}{4} (\tau + g_i \tau_C) \text{sign}(\tau + g_i \tau_C) - \\ &= -\frac{1}{4} (\tau - g_i \tau_C) \text{sign}(\tau - g_i \tau_C), \end{aligned} \quad (34)$$

коэффициенты  $g_i$  ( $i = \overline{0, 4}$ ) приведены в табл. 2.

Входящая в формулу (34) функция “сигнум”  $z$  (см. табл. 1) имеет вид

$$\text{sign} z = \begin{cases} 1 & \text{при } z > 0; \\ 0 & \text{при } z = 0; \\ -1 & \text{при } z < 0. \end{cases} \quad (35)$$

**Таблица 2.** Коэффициенты формулы энергетического спектра  $S_{\text{cosGBOC-2}}(\omega, \rho)$

$i$	$h_i$	$g_i$
0	5	0
1	-1	1
2	-4	0.5ρ
3	-4	1 - ρ
4	4	1 - 0.5ρ

Подставив (34) в (33), находим, что КФ  $R_{\text{cosGBOC-2}}(\tau, \rho)$  равна

$$\begin{aligned} R_{\text{cosGBOC-2}}(\tau, \rho) &= -\frac{1}{2} \times \\ &\times \sum_{i=0}^4 h_i \left\{ \frac{\tau}{\tau_C} [\text{sign}(\tau + g_i \tau_C) + \text{sign}(\tau - g_i \tau_C)] + \right. \\ &\left. + g_i [\text{sign}(\tau + g_i \tau_C) - \text{sign}(\tau - g_i \tau_C)] \right\}, \end{aligned} \quad (36)$$

где  $\rho \in [0, 1]$ ,  $N_{\Pi} = 2$ ,  $\tau_C = T_{\Pi}$ , а коэффициенты  $h_i$  и  $g_i$  ( $i = \overline{0, 4}$ ) приведены в табл. 2.

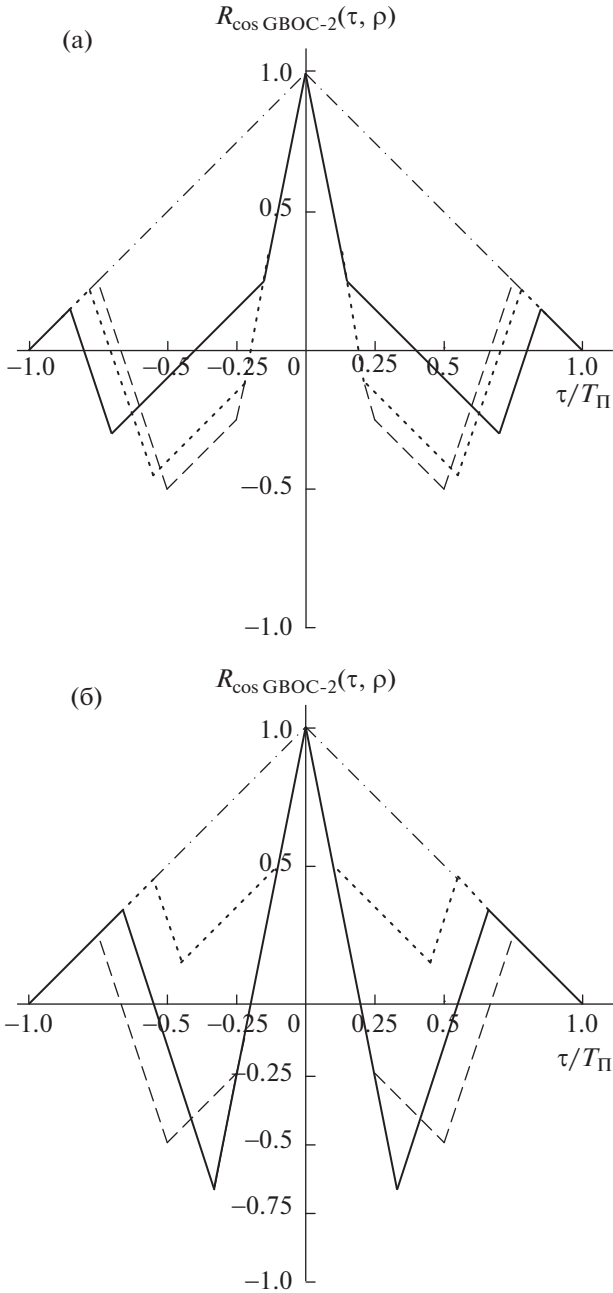
Для cosGBOC-сигналов при  $N_{\Pi} = 2$  в зависимости от значения коэффициента заполнения  $\rho$ , где  $\rho \in [0, 1]$ , возможен, как отмечали (см. (21) и (22)), один из двух вариантов формирования косинусного ППК  $r_{\text{cos}}(t)$ .

Так, 1-й вариант формирования косинусного ППК  $r_{\text{cos}}(t)$  cosGBOC-сигналов при  $N_{\Pi} = 2$  (21) соответствует условию, что  $0.5\tau_1 \leq \tau_2$ , т.е.  $\rho \in \left[0, \frac{2}{3}\right]$ , и 2-й вариант формирования косинусного ППК  $r_{\text{cos}}(t)$  cosGBOC-сигналов при  $N_{\Pi} = 2$  (22) соответствует условию, что  $0.5\tau_1 \geq \tau_2$ , т.е.  $\rho \in \left[\frac{2}{3}, 1\right]$ .

Каждому варианту формирования косинусного ППК  $r_{\text{cos}}(t)$  присуща своя последовательность чередования характерных точек КФ  $R_{\text{cosGBOC-2}}(\tau, \rho)$  на оси времени смещения  $\tau$  (т.е. точек излома КФ  $R_{\text{cosGBOC-2}}(\tau, \rho)$ ) и соответственно свое аналитическое выражение КФ  $R_{\text{cosGBOC-2}}(\tau, \rho)$  одиночного элемента МФ  $d_{\tau_C\text{-cosGBOC-2}}(t)$  cosGBOC-сигналов [10].

Согласно предложенной методике с учетом значений функции “сигнум” (35) произведем вычисления в формуле (36) отдельно для 1-го и 2-го вариантов формирования косинусного ППК  $r_{\text{cos}}(t)$ .

В результате находим, что КФ  $R_{\text{cosGBOC-2}}(\tau, \rho)$  одиночного элемента МФ  $d_{\tau_C\text{-cosGBOC-2}}(t)$  cosGBOC-сигналов с коэффициентом кратности импульсов



**Рис. 3.** Корреляционные функции  $R_{\cos\text{GBOC-}2}(\tau, \rho)$  одиночного элемента модулирующей функции  $\cos\text{GBOC}$ -сигнала с коэффициентом кратности импульсов  $N_{\Pi} = 2$  при  $\rho \in \left[0, \frac{2}{3}\right]$  (а) и  $\rho \in \left[\frac{2}{3}, 1\right]$  (б).

$N_{\Pi} = 2$  характеризуется следующими соотношениями:

$$R_{\cos\text{GBOC-}2}(\tau, \rho) = \begin{cases} R_{\cos\text{GBOC-}2-1}(\tau, \rho) & \text{при } 0 \leq \rho \leq \frac{2}{3}, \\ R_{\cos\text{GBOC-}2-2}(\tau, \rho) & \text{при } \frac{2}{3} \leq \rho \leq 1. \end{cases} \quad (37)$$

Входящие в формулу (37) КФ  $R_{\cos\text{GBOC-}2-1}(\tau, \rho)$  и  $R_{\cos\text{GBOC-}2-2}(\tau, \rho)$  равны соответственно

$$R_{\cos\text{GBOC-}2-1}(\tau, \rho) = \begin{cases} 1 - 5 \frac{|\tau|}{\tau_c} & \text{при } 0 \leq |\tau| \leq 0.5\rho\tau_c, \\ 1 - 2\rho - \frac{|\tau|}{\tau_c} & \text{при } 0.5\rho\tau_c \leq |\tau| \leq (1 - \rho)\tau_c, \\ -3 + 2\rho + 3 \frac{|\tau|}{\tau_c} & \text{при } (1 - \rho)\tau_c \leq |\tau| \leq (1 - 0.5\rho)\tau_c, \\ 1 - \frac{|\tau|}{\tau_c} & \text{при } (1 - 0.5\rho)\tau_c \leq |\tau| \leq \tau_c, \\ 0 & \text{при } |\tau| \geq \tau_c, \end{cases} \quad (38)$$

где  $\rho \in \left[0, \frac{2}{3}\right]$ ,  $N_{\Pi} = 2$ ,  $\tau_c = T_{\Pi}$ ;

$$R_{\cos\text{GBOC-}2-2}(\tau, \rho) = \begin{cases} 1 - 5 \frac{|\tau|}{\tau_c} & \text{при } 0 \leq |\tau| \leq (1 - \rho)\tau_c, \\ -3 + 4\rho - \frac{|\tau|}{\tau_c} & \text{при } (1 - \rho)\tau_c \leq |\tau| \leq 0.5\rho\tau_c, \\ -3 + 2\rho + 3 \frac{|\tau|}{\tau_c} & \text{при } 0.5\rho\tau_c \leq |\tau| \leq (1 - 0.5\rho)\tau_c, \\ 1 - \frac{|\tau|}{\tau_c} & \text{при } (1 - 0.5\rho)\tau_c \leq |\tau| \leq \tau_c, \\ 0 & \text{при } |\tau| \geq \tau_c, \end{cases} \quad (39)$$

где  $\rho \in \left[\frac{2}{3}, 1\right]$ ,  $N_{\Pi} = 2$ ,  $\tau_c = T_{\Pi}$ .

В формулах (37)–(39) и далее, характеризующих КФ  $R_{\cos\text{GBOC-}2-1}(\tau, \rho)$  и  $R_{\cos\text{GBOC-}2-2}(\tau, \rho)$ , последние цифры в индексах означают, что рассматривается 1-й или 2-й вариант формирования косинусного ППК  $r_{\cos}(t)$   $\cos\text{GBOC}$ -сигналов.

Формулы (37)–(39), как и следовало ожидать, совпадают с соответствующими выражениями для КФ  $R_{\cos\text{GBOC-}2}(\tau, \rho)$  из [10] (см. (30)–(32)), которые получены другим методом (на основе общего определения КФ и без использования энергетического спектра).

На рис. 3а и 3б представлены графики КФ  $R_{\cos\text{GBOC-}2}(\tau, \rho)$ , построенные согласно (37)–(39), для одиночного элемента МФ  $d_{\tau_c-\cos\text{GBOC-}2}(t)$   $\cos\text{GBOC}$ -сигналов с коэффициентом кратности импульсов  $N_{\Pi} = 2$  при различных значениях коэффициента заполнения  $\rho$ : а) при  $\rho \in \left[0, \frac{2}{3}\right]$ , б) при  $\rho \in \left[\frac{2}{3}, 1\right]$ . На этих же рисунках изображены графики КФ  $R_{\cos\text{BOC-}2}(\tau)$  и  $R_{\text{BPSK}}(\tau)$  соответствующие

щих cosBOC-сигналов (штриховые линии) и BPSK-сигналов (штрихпунктирные линии).

Графики на рис. 3а характеризуют КФ  $R_{\cos\text{GBOC}-2}(\tau, \rho)$  cosGBOC-сигналов при  $\rho = 0.3$  (сплошная линия) и 0.45 (пунктирная линия), на рис. 3б – при  $\rho = 2/3$  (сплошная линия) и 0.9 (пунктирная линия). Все КФ  $R_{\cos\text{GBOC}-2}(\tau, \rho)$  на рис. 3а и 3б являются нормированными. Особенности КФ  $R_{\cos\text{GBOC}-2}(\tau, \rho)$  обсуждаются в [10].

4.2. Корреляционная функция  $R_{\cos\text{GBOC}-4}(\tau, \rho)$  одиночного элемента модулирующей функции cosGBOC-сигнала с коэффициентом кратности импульсов  $N_{\Pi} = 4$

Энергетический спектр  $S_{\cos\text{GBOC}-4}(f, \rho)$  (24) одиночного элемента МФ  $d_{\tau_c-\cos\text{GBOC}-4}(t)$ , характеризуемого (12) и (17), cosGBOC-сигналов с коэффициентом кратности импульсов  $N_{\Pi} = 4$ , в соответствии с (30), имеет вид

$$S_{\cos\text{GBOC}-4}(f, \rho) = \frac{1}{f_c} \frac{\cos^2 \frac{\pi f}{2f_c}}{\left(\frac{\pi f}{2f_c}\right)^2} \times \quad (40)$$

$$\times \left[ 2\sin\rho \frac{\pi f}{4f_c} \cos(2 - \rho) \frac{\pi f}{4f_c} - \sin(1 - \rho) \frac{\pi f}{2f_c} \right]^2,$$

где  $\rho \in [0, 1]$ ,  $N_{\Pi} = 4$ ,  $\tau_c = 2T_{\Pi}$ .

Согласно предложенной методике, чтобы получить аналитическое выражение КФ  $R_{\cos\text{GBOC}-4}(\tau, \rho)$  (25) одиночного элемента МФ  $d_{\tau_c-\cos\text{GBOC}-4}(t)$  cosGBOC-сигналов, представим энергетический спектр  $S_{\cos\text{GBOC}-4}(f, \rho)$  (40) при  $N_{\Pi} = 4$  (по аналогии с sinGBOC-сигналами [13]) в виде взвешенной алгебраической суммы косинусов углов, определяемых характерными точками косинусного символа МФ  $\mu_{\cos\text{GBOC}-4}(t)$  (17) (т.е. точками излома КФ  $R_{\cos\text{GBOC}-4}(\tau, \rho)$ ). В таком случае находим, что формула энергетического спектра  $S_{\cos\text{GBOC}-4}(f, \rho)$  (40) может быть записана в следующем виде:

$$S_{\cos\text{GBOC}-4}(\omega, \rho) = \frac{1}{\omega^2 T_{\Pi}^2} \sum_{i=0}^9 h_i \cos g_i \omega T_{\Pi}, \quad (41)$$

где  $\rho \in [0, 1]$ ,  $N_{\Pi} = 4$ ,  $\tau_c = 2T_{\Pi}$ ,  $\omega = 2\pi f$ , а коэффициенты  $h_i$  и  $g_i$  ( $i = 0, 9$ ) представлены в табл. 3.

Видно, что формула (41) совпадает с соответствующим выражением для энергетического спектра  $S_{\cos\text{GBOC}-4}(\omega, \rho)$  из [10] (см. ф-ла (54)).

Таблица 3. Коэффициенты формулы энергетического спектра  $S_{\cos\text{GBOC}-4}(\omega, \rho)$

$i$	$h_i$	$g_i$
0	9	0
1	-4	0.5ρ
2	-4	ρ
3	-8	1 - ρ
4	8	1
5	4	1 - 0.5ρ
6	-4	1 + 0.5ρ
7	-4	2 - ρ
8	4	2 - 0.5ρ
9	-1	2

Далее получим КФ  $R_{\cos\text{GBOC}-4}(\tau, \rho)$  (25) при  $N_{\Pi} = 4$  как обратное ПФ энергетического спектра  $S_{\cos\text{GBOC}-4}(\omega, \rho)$  (41). Подставив (41) в (28), получим

$$\begin{aligned} R_{\cos\text{GBOC}-4}(\tau, \rho) &= \text{FT}^{-1} \{ S_{\cos\text{GBOC}-4}(\omega, \rho) \} = \\ &= \frac{1}{\pi} \int_0^{\infty} S_{\cos\text{GBOC}-4}(\omega, \rho) \cos \omega \tau d\omega = \\ &= \text{FT}^{-1} \left\{ \frac{1}{\omega^2 T_{\Pi}^2} \sum_{i=0}^9 h_i \cos g_i \omega T_{\Pi} \right\} = \\ &= \frac{1}{T_{\Pi}^2} \sum_{i=0}^9 h_i \text{FT}^{-1} \left\{ \frac{1}{\omega^2} \cos g_i \omega T_{\Pi} \right\}. \end{aligned} \quad (42)$$

Оригиналы  $\text{FT}^{-1} \left\{ \frac{1}{\omega^2} \cos g_i \omega T_{\Pi} \right\}$ , где  $i = \overline{0, 9}$ , входящие в (42), приведены в табл. 1 и имеют вид

$$\begin{aligned} \text{FT}^{-1} \left\{ \frac{1}{\omega^2} \cos g_i \omega T_{\Pi} \right\} &= -\frac{1}{4} (\tau + g_i T_{\Pi}) \text{sign}(\tau + g_i T_{\Pi}) - \\ &- \frac{1}{4} (\tau - g_i T_{\Pi}) \text{sign}(\tau - g_i T_{\Pi}), \end{aligned} \quad (43)$$

коэффициенты  $g_i$  ( $i = \overline{0, 9}$ ) приведены в табл. 3.

Подставив (43) в (42), после вычислений находим, что КФ  $R_{\cos\text{GBOC}-4}(\tau, \rho)$  равна

$$\begin{aligned}
 R_{\cos\text{GBOC-4}}(\tau, \rho) = & \\
 = -\frac{1}{4} \sum_{i=0}^9 h_i \left\{ \frac{\tau}{T_{\Pi}} [\text{sign}(\tau + g_i T_{\Pi}) + \text{sign}(\tau - g_i T_{\Pi})] + \right. & \\
 \left. + g_i [\text{sign}(\tau + g_i T_{\Pi}) - \text{sign}(\tau - g_i T_{\Pi})] \right\}, & \quad (44)
 \end{aligned}$$

где  $\rho \in [0, 1]$ ,  $N_{\Pi} = 4$ ,  $\tau_c = 2T_{\Pi}$ , а коэффициенты  $h_i$  и  $g_i$  ( $i = \overline{0,9}$ ) приведены в табл. 3.

Для  $\cos\text{GBOC}$ -сигналов с коэффициентом кратности импульсов  $N_{\Pi} = 4$  в зависимости от значения коэффициента заполнения  $\rho$ , где  $\rho \in [0, 1]$ , возможен, как отмечали (см. (18)–(20)), один из трех вариантов формирования косинусного ППК  $r_{\cos}(t)$  [10]. Так, 1-й вариант (18) соответствует условию, что  $\tau_1 \leq \tau_2$ , т.е.  $\rho \in \left[0, \frac{1}{2}\right]$ ; 2-й вариант (19) соответствует условию, что  $0.5\tau_1 \leq \tau_2 \leq \tau_1$ , т.е.  $\rho \in \left[\frac{1}{2}, \frac{2}{3}\right]$ ; 3-й вариант (20) соответствует условию, что  $\tau_2 \leq 0.5\tau_1$ , т.е.  $\rho \in \left[\frac{2}{3}, 1\right]$ .

Каждому варианту формирования косинусного ППК  $r_{\cos}(t)$  присуща своя последовательность чередования характерных точек КФ  $R_{\cos\text{GBOC-4}}(\tau, \rho)$

на оси времени смещения  $\tau$  (т.е. точек излома КФ) и, соответственно, свое аналитическое выражение КФ  $R_{\cos\text{GBOC-4}}(\tau, \rho)$  [10].

В соответствии с используемой методикой (аналогично случаю при  $N_{\Pi} = 2$ ) произведем с учетом (35) вычисления в формуле (44) отдельно для каждого варианта формирования косинусного ППК  $r_{\cos}(t)$ .

В результате находим, что КФ  $R_{\cos\text{GBOC-4}}(\tau, \rho)$  одиночного элемента МФ  $d_{\tau_c - \cos\text{GBOC-4}}(t)$   $\cos\text{GBOC}$ -сигналов с коэффициентом кратности импульсов  $N_{\Pi} = 4$  характеризуется следующими соотношениями:

$$\begin{aligned}
 R_{\cos\text{GBOC-4}}(\tau, \rho) = & \\
 = \begin{cases} R_{\cos\text{GBOC-4-1}}(\tau, \rho) & \text{при } 0 \leq \rho \leq \frac{1}{2}, \\ R_{\cos\text{GBOC-4-2}}(\tau, \rho) & \text{при } \frac{1}{2} \leq \rho \leq \frac{2}{3}, \\ R_{\cos\text{GBOC-4-3}}(\tau, \rho) & \text{при } \frac{2}{3} \leq \rho \leq 1. \end{cases} & \quad (45)
 \end{aligned}$$

Входящие в формулу (45) КФ  $R_{\cos\text{GBOC-4-1}}(\tau, \rho)$ ,  $R_{\cos\text{GBOC-4-2}}(\tau, \rho)$  и  $R_{\cos\text{GBOC-4-3}}(\tau, \rho)$  равны соответственно:

$$R_{\cos\text{GBOC-4-1}}(\tau, \rho) = \begin{cases} 1 - 4.5 \frac{|\tau|}{T_{\Pi}} & \text{при } 0 \leq |\tau| \leq 0.5\rho T_{\Pi}, \\ 1 - \rho - 2.5 \frac{|\tau|}{T_{\Pi}} & \text{при } 0.5\rho T_{\Pi} \leq |\tau| \leq \rho T_{\Pi}, \\ 1 - 3\rho - 0.5 \frac{|\tau|}{T_{\Pi}} & \text{при } \rho T_{\Pi} \leq |\tau| \leq (1 - \rho)T_{\Pi}, \\ -3 + \rho + 3.5 \frac{|\tau|}{T_{\Pi}} & \text{при } (1 - \rho)T_{\Pi} \leq |\tau| \leq (1 - 0.5\rho)T_{\Pi}, \\ -1 + 1.5 \frac{|\tau|}{T_{\Pi}} & \text{при } (1 - 0.5\rho)T_{\Pi} \leq |\tau| \leq T_{\Pi}, \\ 3 - 2.5 \frac{|\tau|}{T_{\Pi}} & \text{при } T_{\Pi} \leq |\tau| \leq (1 + 0.5\rho)T_{\Pi}, \\ 1 - \rho - 0.5 \frac{|\tau|}{T_{\Pi}} & \text{при } (1 + 0.5\rho)T_{\Pi} \leq |\tau| \leq (2 - \rho)T_{\Pi}, \\ -3 + \rho + 1.5 \frac{|\tau|}{T_{\Pi}} & \text{при } (2 - \rho)T_{\Pi} \leq |\tau| \leq (2 - 0.5\rho)T_{\Pi}, \\ 1 - 0.5 \frac{|\tau|}{T_{\Pi}} & \text{при } (2 - 0.5\rho)T_{\Pi} \leq |\tau| \leq 2T_{\Pi} = \tau_c, \\ 0 & \text{при } |\tau| \geq 2T_{\Pi} = \tau_c, \end{cases} \quad (46)$$

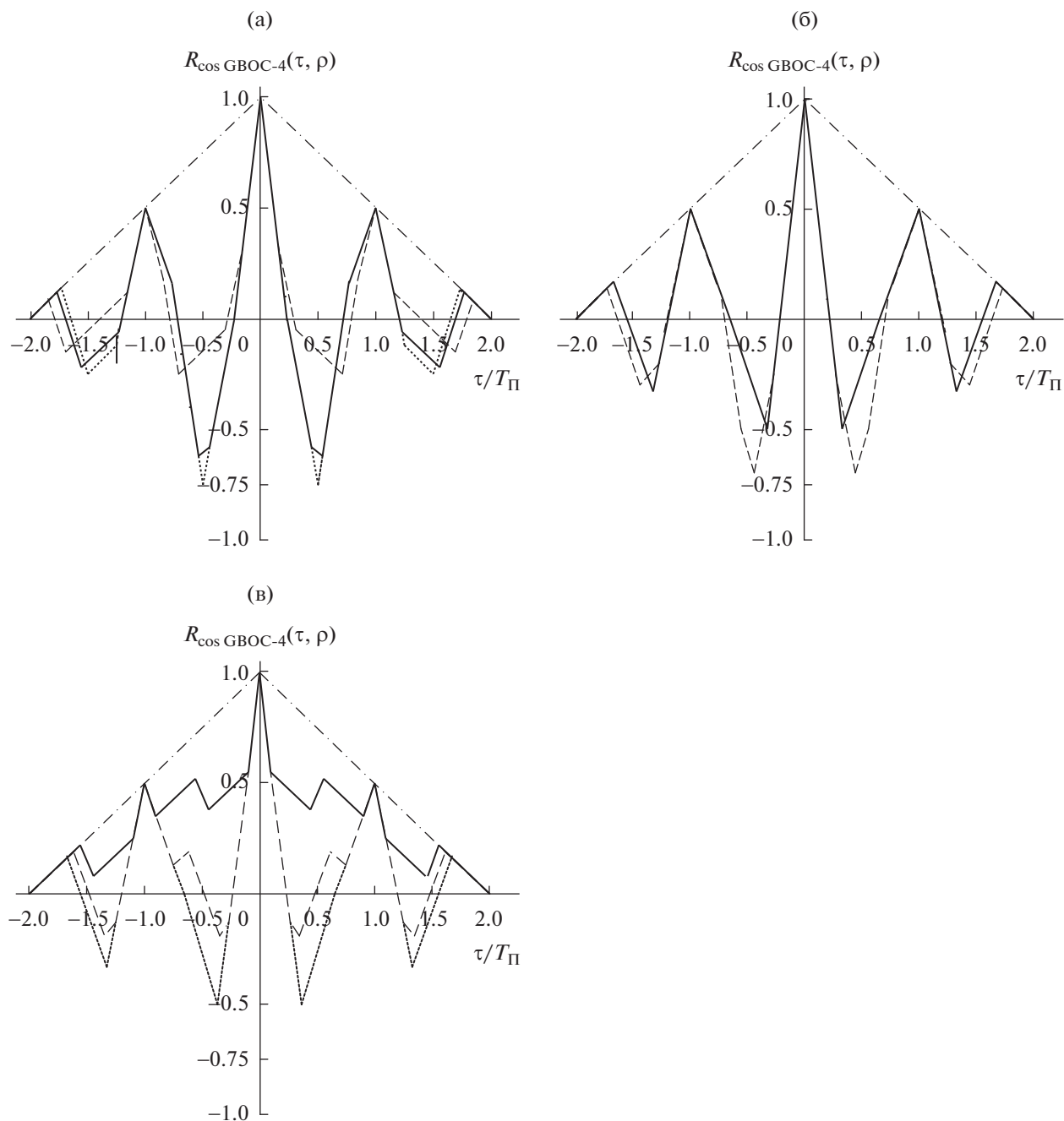
где  $\rho \in \left[0, \frac{1}{2}\right]$ ,  $N_{\Pi} = 4$ ,  $\tau_c = 2T_{\Pi}$ ;

$$R_{\cos GBOC-4-2}(\tau, \rho) = \begin{cases} 1 - 4.5 \frac{|\tau|}{T_{\Pi}} & \text{при } 0 \leq |\tau| \leq 0.5\rho T_{\Pi}, \\ 1 - \rho - 2.5 \frac{|\tau|}{T_{\Pi}} & \text{при } 0.5\rho T_{\Pi} \leq |\tau| \leq (1 - \rho)T_{\Pi}, \\ -3 + 3\rho + 1.5 \frac{|\tau|}{T_{\Pi}} & \text{при } (1 - \rho)T_{\Pi} \leq |\tau| \leq \rho T_{\Pi}, \\ -3 + \rho + 3.5 \frac{|\tau|}{T_{\Pi}} & \text{при } \rho T_{\Pi} \leq |\tau| \leq (1 - 0.5\rho)T_{\Pi}, \\ -1 + 1.5 \frac{|\tau|}{T_{\Pi}} & \text{при } (1 - 0.5\rho)T_{\Pi} \leq |\tau| \leq T_{\Pi}, \\ 3 - 2.5 \frac{|\tau|}{T_{\Pi}} & \text{при } T_{\Pi} \leq |\tau| \leq (1 + 0.5\rho)T_{\Pi}, \\ 1 - \rho - 0.5 \frac{|\tau|}{T_{\Pi}} & \text{при } (1 + 0.5\rho)T_{\Pi} \leq |\tau| \leq (2 - \rho)T_{\Pi}, \\ -3 + \rho + 1.5 \frac{|\tau|}{T_{\Pi}} & \text{при } (2 - \rho)T_{\Pi} \leq |\tau| \leq (2 - 0.5\rho)T_{\Pi}, \\ 1 - 0.5 \frac{|\tau|}{T_{\Pi}} & \text{при } (2 - 0.5\rho)T_{\Pi} \leq |\tau| \leq 2T_{\Pi} = \tau_c, \\ 0 & \text{при } |\tau| \geq 2T_{\Pi} = \tau_c, \end{cases} \quad (47)$$

где  $\rho \in \left[\frac{1}{2}, \frac{2}{3}\right]$ ,  $N_{\Pi} = 4$ ,  $\tau_c = 2T_{\Pi}$ ;

$$R_{\cos GBOC-4-3}(\tau, \rho) = \begin{cases} 1 - 4.5 \frac{|\tau|}{T_{\Pi}} & \text{при } 0 \leq |\tau| \leq (1 - \rho)T_{\Pi}, \\ -3 + 4\rho - 0.5 \frac{|\tau|}{T_{\Pi}} & \text{при } (1 - \rho)T_{\Pi} \leq |\tau| \leq 0.5\rho T_{\Pi}, \\ -3 + 3\rho + 1.5 \frac{|\tau|}{T_{\Pi}} & \text{при } 0.5\rho T_{\Pi} \leq |\tau| \leq (1 - 0.5\rho)T_{\Pi}, \\ -1 + 2\rho - 0.5 \frac{|\tau|}{T_{\Pi}} & \text{при } (1 - 0.5\rho)T_{\Pi} \leq |\tau| \leq \rho T_{\Pi}, \\ -1 + 1.5 \frac{|\tau|}{T_{\Pi}} & \text{при } \rho T_{\Pi} \leq |\tau| \leq T_{\Pi}, \\ 3 - 2.5 \frac{|\tau|}{T_{\Pi}} & \text{при } T_{\Pi} \leq |\tau| \leq (2 - \rho)T_{\Pi}, \\ -1 + 2\rho - 0.5 \frac{|\tau|}{T_{\Pi}} & \text{при } (2 - \rho)T_{\Pi} \leq |\tau| \leq (1 + 0.5\rho)T_{\Pi}, \\ -3 + \rho + 1.5 \frac{|\tau|}{T_{\Pi}} & \text{при } (1 + 0.5\rho)T_{\Pi} \leq |\tau| \leq (2 - 0.5\rho)T_{\Pi}, \\ 1 - 0.5 \frac{|\tau|}{T_{\Pi}} & \text{при } (2 - 0.5\rho)T_{\Pi} \leq |\tau| \leq 2T_{\Pi} = \tau_c, \\ 0 & \text{при } |\tau| \geq 2T_{\Pi} = \tau_c, \end{cases} \quad (48)$$

где  $\rho \in \left[\frac{2}{3}, 1\right]$ ,  $N_{\Pi} = 4$ ,  $\tau_c = 2T_{\Pi}$ .



**Рис. 4.** Корреляционные функции  $R_{\cos\text{GBOC-4}}(\tau, \rho)$  одиночного элемента модулирующей функции  $\cos\text{GBOC}$ -сигнала с коэффициентом кратности импульсов  $N_{\Pi} = 4$  при  $\rho \in [0, \frac{1}{2}]$  (а),  $\rho \in [\frac{1}{2}, \frac{2}{3}]$  (б) и  $\rho \in [\frac{2}{3}, 1]$  (в).

Как и следовало ожидать, формулы (45)–(48), совпадают с соответствующими выражениями для КФ  $R_{\cos\text{GBOC-4}}(\tau, \rho)$  из [10], которые получены другим методом (на основе общего определения КФ и без использования энергетического спектра).

На рис. 4а–4в согласно (45)–(48) представлены графики КФ  $R_{\cos\text{GBOC-4}}(\tau, \rho)$  для одиночного элемента МФ  $d_{\tau\text{-}\cos\text{GBOC-4}}(t)$   $\cos\text{GBOC}$ -сигналов с

коэффициентом кратности импульсов  $N_{\Pi} = 4$  при различных значениях коэффициента заполнения  $\rho$ , где  $\rho \in [0, 1]$  (при  $\rho \in [0, \frac{1}{2}]$  – рис. 4а, при  $\rho \in [\frac{1}{2}, \frac{2}{3}]$  – рис. 4б и при  $\rho \in [\frac{2}{3}, 1]$  – рис. 4в). На этих же рисунках изображены графики КФ  $R_{\text{BPSK}}(\tau)$   $\text{BPSK}$ -сигналов (штрихпунктирные).

На рис. 4а–4в представлены графики КФ  $R_{\cos\text{GBOC}-4}(\tau, \rho)$  cosGBOC-сигналов при различных  $\rho$ :

а)  $\rho = 0.45$  (сплошная кривая),  $\rho = 0.3$  (штриховая) и  $\rho = 0.5$  (пунктирная) (случай соответствующих cosBOC-сигналов);

б)  $\rho = 2/3$  (сплошная) и  $\rho = 0.55$  (штриховая);

в)  $\rho = 0.9$  (сплошная),  $\rho = 0.75$  (штриховая) и при  $\rho = 2/3$  (пунктирная).

Все КФ  $R_{\cos\text{GBOC}-4}(\tau, \rho)$  на рис. 4а–4в являются нормированными.

Особенности КФ  $R_{\cos\text{GBOC}-4}(\tau, \rho)$  cosGBOC-сигналов рассматриваются в [10].

### ЗАКЛЮЧЕНИЕ

Шумоподобные cosGBOC-сигналы, являющиеся обобщением cosBOC-сигналов, предназначены для применения в перспективных глобальных СРНС таких, как GPS (США), Galileo (ЕС), ГЛОНАСС (Россия) и BeiDou (Китай).

Основной научный результат работы состоит в том, что предложенная в [13] методика вычисления КФ одиночных элементов МФ sinGBOC-сигналов на основе обратного ПФ энергетических спектров распространена на cosGBOC-сигналы, и этим способом получены аналитические выражения КФ  $R_{\cos\text{GBOC}-N_{\Pi}}(\tau, \rho)$  одиночных элементов МФ  $d_{\tau-\cos\text{GBOC}}(t)$  cosGBOC-сигналов с коэффициентом кратности импульсов  $N_{\Pi} = 2$  и 4 для различных значений коэффициента заполнения  $\rho$ , где  $\rho \in [0, 1]$ .

В основе методики лежит представление энергетического спектра GBOC-сигналов в виде взвешенной алгебраической суммы косинусов углов, определяемых характерными точками синусного символа МФ  $\mu_{\text{GBOC}}(t)$  (т.е. точками излома КФ).

Полученные аналитические выражения КФ  $R_{\cos\text{GBOC}-2}(\tau, \rho)$  и  $R_{\cos\text{GBOC}-4}(\tau, \rho)$ , как и следовало ожидать, совпадают с соответствующими формулами из [10], найденными другим методом (на основе общего определения КФ и без использования энергетических спектров).

Вычисление КФ  $R_{\cos\text{GBOC}-N_{\Pi}}(\tau, \rho)$  путем обратного ПФ энергетических спектров  $S_{\cos\text{GBOC}-N_{\Pi}}(\omega, \rho)$  в ряде случаев оказывается более предпочтительным при сравнении со способом получения КФ на основе их общего определения.

По изложенной методике аналогичным образом можно получить аналитические выражения КФ  $R_{\cos\text{GBOC}-N_{\Pi}}(\tau, \rho)$  одиночных элементов МФ cosGBOC-сигналов при любом другом значении коэффициента кратности импульсов  $N_{\Pi}$ , где  $N_{\Pi} = 2, 4, 6, \dots$

Располагая аналитическими выражениями КФ  $R_{\cos\text{GBOC}-N_{\Pi}}(\tau, \rho)$  одиночных элементов МФ cosGBOC-сигналов, удается осознанно преодолеть трудности при разработке навигационной аппаратуры потребителей (в частности, дискриминаторов) с целью обеспечения, по возможности, однозначного слежения за основным пиком КФ и минимизации вероятности захвата ее боковых (ложных) пиков. Для СРНС грядущего поколения на этой же основе можно в принципе количественно рассчитать потенциальные характеристики точности слежения за ПСП дальномерного кода и оценить разрешающую способность сигналов в условиях многолучевости и при действии помех различного рода.

### СПИСОК ЛИТЕРАТУРЫ

1. Betz J.W. // Proc. National Technical Meeting of the Institute of Navigation (ION – NTM'99), January 1999. P. 639.
2. Betz J.W. // Navigation, J. ION. 2001. V. 48. № 4. P. 227.
3. Hein G.W., Godet J., Issler J.-L. et al. // Proc. Institute of Navigation Global Positioning System Meeting (ION GPS 2002). Portland. USA. 24–27 Sep. 2002. Fairfax: ION, 2002. P. 266.
4. Ярлыков М.С. Меандровые шумоподобные сигналы (BOC-сигналы) и их разновидности в спутниковых радионавигационных системах. М.: Радиотехника, 2017.
5. Liu W., Hu Y., Zhan X.Q. // Electronics Lett. 2012. V. 48. № 5. P. 284.
6. Liu W., Hu Y. // J. Communications Technology and Electronics. 2014. V. 59. № 11. P. 1206.
7. Ярлыков М.С. // РЭ. 2017. Т. 62. № 10. С. 964.
8. Ярлыков М.С., Ярлыкова С.М. // РЭ. 2018. Т. 63. № 2. С. 157.
9. Ярлыков М.С. // РЭ. 2018. Т. 63. № 8. С. 808.
10. Ярлыков М.С., Ярлыкова С.М. // РЭ. 2019. Т. 64. № 7. С. 694.
11. Варакин Л.Е. Системы связи с шумоподобными сигналами. М.: Радио и связь, 1985.
12. Ярлыков М.С. // РЭ. 2016. Т. 61. № 8. С. 725.
13. Ярлыков М.С. // РЭ. 2019. Т. 64. № 8. С. 775.
14. Global Positioning Systems Directorate. Systems Engineering and Integration. Interface Specification IS – GPS – 200. – Navstar GPS Space Segment/Navigation User Interfaces, IS – GPS – 200G, 05 September 2012.
15. Шебшаевич В.С., Дмитриев П.П., Иванцевич Н.В. и др. Сетевые спутниковые радионавигационные системы. 2-е изд. М.: Радио и связь, 1993.
16. Тихонов В.И. Статистическая радиотехника. 2-е изд. М.: Сов. радио, 1982.
17. Стеценко О.А. Радиотехнические цепи и сигналы. М.: Высшая школа, 2007.